

# موقعیت تکتونیکی گرانودیوریت زرگلی در زمین درز

## سیستان، جنوب شرق ایران

شهریار کشتگر<sup>(۱)</sup>، محمد بومری<sup>(۲)</sup>، علی کنعانیان<sup>(۳)</sup>، محبوبه نظری<sup>(۴)</sup>

۱. دانشگاه جامع، واحد استان سیستان و بلوچستان، زاهدان
۲. دانشیار گروه زمین‌شناسی، دانشگاه سیستان و بلوچستان
۳. دانشیار دانشکده زمین‌شناسی، پردیس علوم، دانشگاه تهران
۴. دانشجوی دکتری ژئوشیمی، گروه زمین‌شناسی، دانشگاه سیستان و بلوچستان

تاریخ دریافت: ۹۵/۰۳/۱۷

تاریخ پذیرش: ۹۵/۰۶/۳۱

### چکیده

گرانیتوئید زرگلی در شمال غرب زاهدان در پهنه زمین درز سیستان بروزد دارد. این گرانیتوئید در زمان الیگومن در یک واحد فلیشی نفوذ کرده و دارای محتوای سیلیس بین ۶۴/۴ تا ۶۶ درصد وزنی، کالک-آلکالن، متا-آلومین و ازنوع I می‌باشد. گرانودیوریت زرگلی از عناصر LILE غنی‌شدگی و از عناصر HFSE تهی شدگی نشان می‌دهند. بی‌هنجاری منفی از عناصر Ta، Ti، Nb و Eu و بی‌هنجاری مثبت از عناصر Rb، Ce La، Ba، Sr، و بی‌هنجاری از این است که ماقمای سازنده از ذوب بخشی سنگ‌های پوسته زیرین منتشر گرفته است. این ماقما ضمن جایگیری در پهنه جوش خورده سیستان با رسوبات فلیشی دچار آشستگی و آلایش شده است. نمودارهای تکتونو-ماگماتی، جایگاه گرانیتوئیدهای قوس آتشفسانی (VAG) و حاشیه‌فعال قاره‌ای را برای این توده نشان می‌دهند.

واژه‌های کلیدی: زرگلی، پهنه جوش خورده سیستان، ژئوشیمی، گرانودیوریت.

### مقدمه

گرفته است (صادقیان، ۱۳۸۲، حسینی، ۱۳۸۱، تیوای، ۱۳۸۱، بومری و همکاران، ۱۳۸۴، قاسمی و همکاران، ۱۳۸۸، مرادی و همکاران ۱۳۹۴) بر اساس این مطالعات گرانیتوئیدهای زاهدان، متا-آلومینوس تا پرآلومین، کالک-آلکالن و ازنوع I و S می‌باشند که نشانه‌هایی از فرورانش، برخورد و یا پس از برخورد هستند. مطالعاتی که روی گرانودیوریت زرگلی انجام شده اندک است (کشتگر، ۱۳۸۳، سراوانی فیروز، ۱۳۹۰).

هدف این پژوهش، بررسی دقیق‌تر خصوصیات صحرابی، پتروگرافی و ژئوشیمیایی گرانودیوریت زرگلی، به منظور شناخت

گرانودیوریت زرگلی (خیرآباد) به عنوان بخشی از نوار گرانیتوئیدی گراجه- سراوان، در استان سیستان و بلوچستان و در ۴۵ کیلومتری شمال غرب شهر زاهدان، بین طول‌های جغرافیایی  $۲۷^{\circ} ۰۰'$  تا  $۴۵^{\circ} ۶۰'$  و شرقی و عرض‌های جغرافیایی  $۴۲^{\circ} ۰۰'$  و  $۲۹^{\circ} ۴۰'$  تا  $۴۰^{\circ} ۲۹'$  شمالی واقع شده است (شکل ۱).

نوار گرانیتوئیدی زاهدان- سراوان در پهنه درزه سیستان واقع شده است و توسط محققین مختلفی مورد بررسی قرار

\* نویسنده مرتبط: shahriar.keshtgar@gmail.com

و افغان از غرب و شرق با پهنه درزه سیستان در الیگوسن پیشین در نظر گرفته می‌شوند. (Tirrul et al., 1983) سنگ‌های آذین درونی و خروجی آلکالن و کالک‌آلکالن از الیگوسن تا میوزن بهویژه در ارتباط با گسل‌های امتداد‌لغز در بخش‌هایی از پهنه درزه سیستان تشکیل شده و به نظر می‌رسد حاصل فرآیندهای پس از برخورد باشند. (Camp and Griffis, 1982)

زمین‌شناسی منطقه مورد مطالعه نیز مشابه با دیگر بخش‌های زون زمین درز سیستان است و عمدتاً از سنگ‌های نوع فلیش تشکیل شده است که از تناب شیل، ماسه‌سنگ، سیلتستون، کنگلومرا، مارن و آهک‌های نومولیتی، تشکیل شده‌اند (شکل ۱). در بعضی نقاط، میان لایه‌هایی از سنگ‌های آتشفشاری حدواتسط تا بازیک در آنها دیده می‌شود. این سنگ‌ها، دگرگونی ناحیه‌ای گستردۀ اما درجه ضعیف در حد رخساره شیست سبز را متحمل شده است. گرانیتوئیدهای راهدان به صورت استوک، دایک و رگه رخمنون دارند و در مجموع یک باتولیت بزرگ می‌باشند. گرانودیبوریت زرگلی نیز عمدتاً توده‌ای است که دایک‌های حدواتسط و رگه‌های آپلیتی و کوارتزی آن را قطع کرده‌اند. سنگ‌های فلیشی و بخصوص شیل‌ها در مجاورت این توده به هورنفلس تبدیل شده‌اند. انکلاوهای متعددی در این گرانودیبوریت دیده می‌شود.

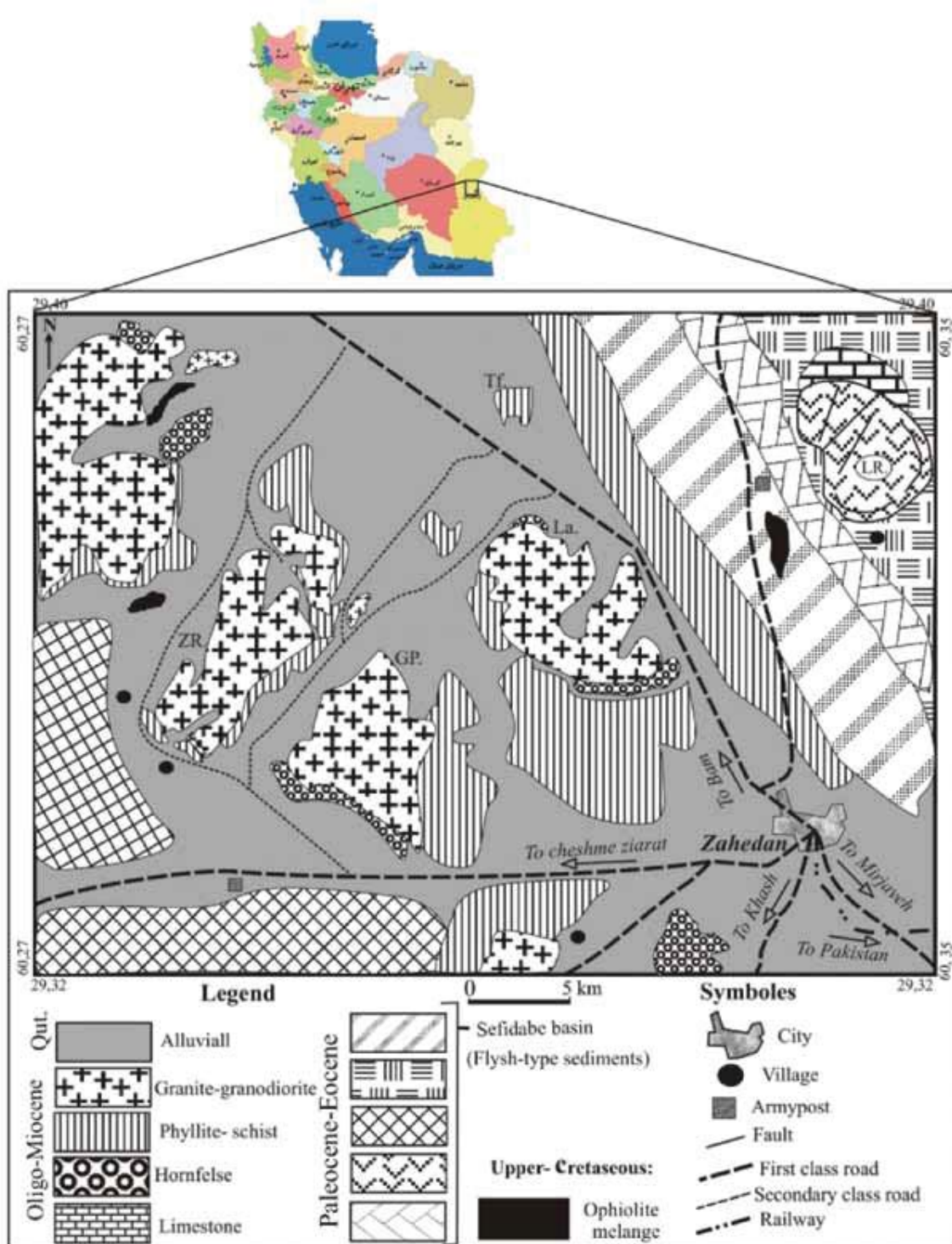
### روش مطالعه

این پژوهش بر اساس مطالعات صحرایی، پتروگرافی و ژئوشیمی انجام شده است. جهت انجام مطالعات سنگ‌شناسی، از بخش‌های حاشیه‌ای تا مرکزی توده نفوذی زرگلی، نمونه‌برداری انجام شد. نمونه‌برداری‌ها تا حد امکان از بخش‌های جنوبی و غربی که کمتر میلیونیتی شده‌اند، انجام شده است (شکل ۲). توصیف پتروگرافی گرانیتوئید زرگلی و سنگ‌های میزانش بر مبنای مطالعه میکروسکوپی ۹۰٪ مقطع نازک میکروسکوپی است. برای انجام مطالعات ژئوشیمیایی ۱۰ نمونه از سنگ‌های آذین سالم و غیر دگرسان شده منطقه، پس از آماده‌سازی، با استفاده از روش ICP-MS و XRF در آزمایشگاه CHEMEX ALS کشور کانادا، مورد تجزیه شیمیایی سنگ کل قرار گرفته و با نرم‌افزارهای تخصصی پردازش و تفسیر شدند.

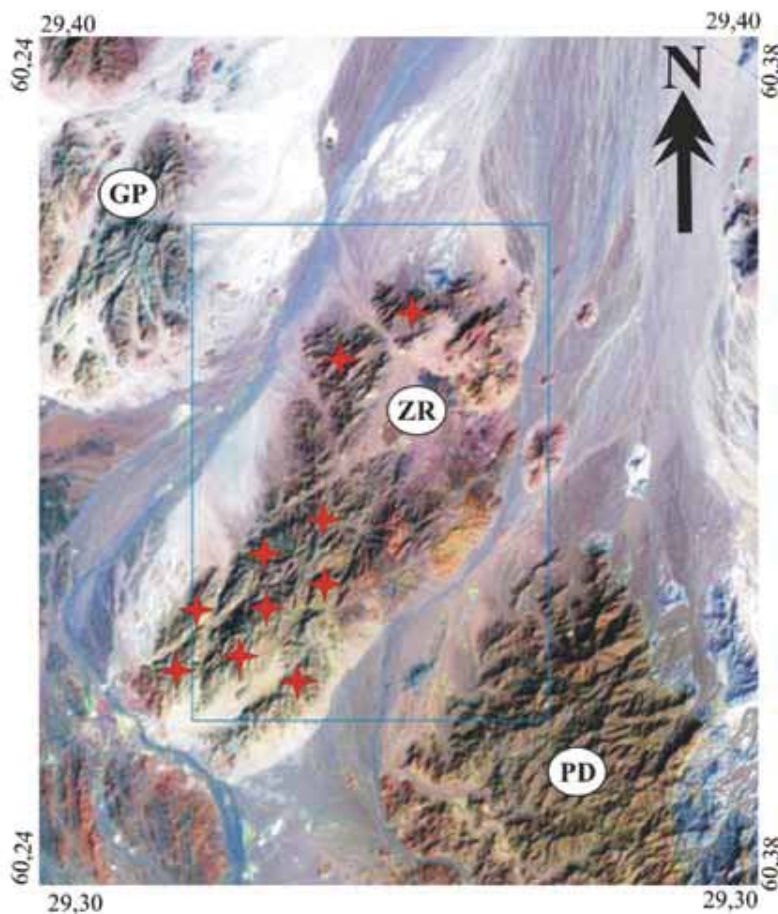
هر چه بیشتر ماهیت ماقمای سازنده و جایگاه تکتونوماگمایی گرانیتوئیدهای جنوب شرق ایران می‌باشد.

### زمین‌شناسی

گرانودیبوریت زرگلی در پهنه زمین‌شناسی زمین درز سیستان واقع شده است. این پهنه از غرب با بلوک قاره‌ای لوت و از شرق با بلوک قاره‌ای افغان هم‌مرز است. افیولیت‌های با سن کرتاسه پایانی قدیم‌ترین سنگ‌های این پهنه هستند و شاهدی از اقیانوس نئوتیس در نظر گرفته شده‌اند (Tirrul et al., 1983). این سنگ‌ها به صورت نواهای باریک و طویل در امتداد گسل‌های موازی و ناپیوسته، به شدت خردشده‌اند و گاهی با لیسونیت‌ها همراه می‌باشند. سنگ‌های نوع فلیش، گستردۀ‌ترین واحد سنگی در پهنه درز سیستان می‌باشند که عمدتاً در ائوسن تشکیل شده و عمدتاً شامل شیل، ماسه سنگ، سیلتستون و سنگ آهک هست. این سنگ‌ها در بعضی مناطق تحت تأثیر دگرگونی ناحیه‌ای و مجاورتی قرار گرفته‌اند. سنگ‌های آذین در ائوسن عمدتاً کالک‌آلکالن بوده و در شرق و غرب پهنه زمین درز سیستان رخمنون دارند و به همین دلیل به عنوان نشانه‌هایی از فروزانش شناخته می‌شوند. مهم‌ترین نظریه جهت پهنه زمین درز سیستان را به زیر بلوک قاره‌ای افغان با پلاریته رو به شمال شرق در نظر می‌گیرند (Tirrul et al., 1983). در نظریه دیگری که توسط افتخار نژاد (۱۳۵۲) مطرح شده جهت فروزانش را به زیر بلوک قاره‌ای لوت در نظر گرفته شده است. محققین دیگر نیز با توجه به وجود ولکانیسم کالک‌آلکالن مشابه در شمال لوت و کاهش سن آنها از شرق به غرب و نهشته‌های اقتصادی خاص همراه آنها یک سیستم فروزانش دوسویه با شبکه‌ای متفاوت برای آن پیشنهاد داده‌اند (ارجمندزاده و همکاران، ۱۳۹۰). توده‌های نفوذی گرانیتی راهدان، دوره مهمی از ماقماتیسم کالک‌آلکالن را در پهنه زمین درز سیستان نشان می‌دهند (شکل ۲). تعیین سن‌های انجام شده به روش K-Ar سن میانگین این توده‌ها را ۳۲ میلیون سال نشان می‌دهد (Camp and Griffis, 1982). این گرانیتوئیدها به عنوان نشانه برخورد دو بلوک قاره‌ای لوت



شکل ۱. موقعیت جغرافیایی و راههای دسترسی به منطقه مورد مطالعه، La: کوه لخشک، Pd: کوه پدگی، ZR: کوه زرگلی، GP: کوه گپدان، Tf: تفتاکوه، LR: کوه لار



شکل ۲. تصویر ماهواره‌ای لندست TM توده‌ی نفوذی مورد مطالعه، حاصل ترکیب باندی ۷-۶-۴-RGB، موقعیت نمونه برداری‌ها با علامت ستاره نشان داده شده است. PD: پدگی

گرانیتوئید زرگلی در نمونه دستی دارای ظاهری نسبتاً سفید با لکه‌های سیاه رنگ است. بخش‌های سفید کوارتز و فلدسپات می‌باشند و بخش‌های سیاه عمدتاً دانه‌های تیره رنگ بیویت می‌باشند. حضور بیویت‌های درشت دانه در مرکز گرانیتوئید زرگلی ظاهری تیره رنگتر به آن داده است (شکل ۴A). گرانیتوئید زرگلی حاوی آنکلاو نیز می‌باشد که تیره‌تر و دانه‌ریزتر می‌باشند. انکلاوهای موجود از نوع رسوبی دگرگون شده و سورمیکاسه (لخته‌های بیویت) هستند و در کنتاكت آنها با گرانیت‌ها بیویت زایی صورت گرفته است (شکل ۴A و B).

بر اساس مطالعات سنگنگاری، ترکیب اصلی گرانیتوئید زرگلی گرانودیبوریت تا مونزو گرانیت می‌باشد. رنگ سنگ‌های مورد مطالعه در نمونه دستی از سفید متمایل به خاکستری تا خاکستری تیره تغییر می‌یابد.



شکل ۳. ارتباط صحرایی واحدهای سنگی منطقه مورد مطالعه؛ دید عکس: شمال، ۱) گرانودیبوریت‌های دگرگونی نشده بخش مرکزی توده. ۲) سنگ‌های دگرگونی میزبان به همراه میلونیت گرانیت‌های بودین شده. ۳) فیلیت و کالک شیستهای دگرسان شده

## بحث

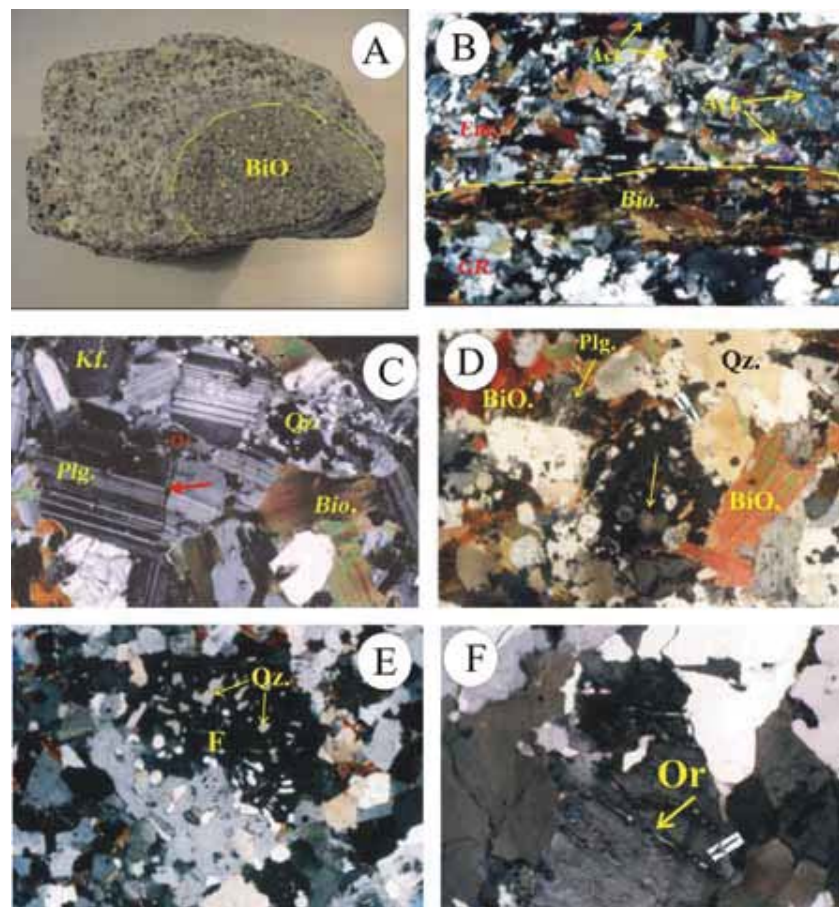
### پتروگرافی

از نظر ساختاری کنتاكت توده گرانیتوئیدی زرگلی با سنگ‌های میزبان، از نوع همشیب و ناگهانی است.

از اصطلاح "بیوتیت گرانیت" نیز برای بخش‌های مرکزی از این توده استفاده کرد. کانی‌های فرعی شامل: آپاتیت، زیرکن و آلانیت می‌باشد. پلاژیوکلазها اکثراً به صورت سالم و غیردگرسان در بافت سنگ وجود دارند و گاهی فابریک ساب ماجماتیک (شکستگی‌های گوهای شکل که با کانی‌های دیگر پر شده‌اند) در هنگام تبلور در آنها ایجاد شده است (Kananian and Keshtgar, 2004). ارتوکلазها دارای بافت میرمیکیتی می‌باشند که از حاشیه به سمت داخل کانی رشد کرده‌اند. بیوتیتها که با دورنگ متفاوت قوهای (غنى از آهن) و سبز متمایل به قوهای (غنى از منیزیم) وجود دارند که بعضاً دچار تا شدگی نیز شده‌اند. کوارتزها به صورت بی‌شکل فضاهای بین سایر کانی‌ها را پر نموده‌اند.

بر اساس مطالعات سنگنگاری، ترکیب اصلی توده زرگلی گرانودیوریت تا مونزو گرانیت می‌باشد. بافت سنگ‌ها گرانولار و دانه‌درشت است و کانی‌های اصلی سازنده، شامل: کوارتز، پلاژیوکلاز، ارتوکلاز به همراه بیوتیت می‌باشند (شکل ۴-۴). وجود بافت‌های پوئی کیلیتیک و گرانوفیری از دیگر اختصاصات بافتی سنگ‌های مورد مطالعه است که در اثر هم‌رشدی فلدسپار و کوارتز به وجود آمده است (شکل ۴-۵). از دیگر ویژگی‌های فلدسپارها، پرتیتی شدن آنها در شرایط ساب‌سولیدوس است که نشانه پایین بودن فشار بخار آب در هنگام تبلور گرانیت‌ها و به عبارتی هیپرسولیدوس بودن آنها است (شکل ۴-۶).

کانی بیوتیت حدود ۱۵ درصد حجم سنگ را تشکیل می‌دهد. با توجه به حضور فراوان کانی بیوتیت می‌توان



شکل ۴. A) لخته‌های بیوتیت (سورمیکاسه) در گرانودیوریت، اندازه انکلاو ۸ سانتی‌متر، B)- بیوتیت زایی در کنتاكت بین انکلاو رسوی و گرانودیوریت (نور پلاریزه، ۴۰° برابر)، C) بافت گرانولار و فابریک ساب‌ماجماتیک (علامت فلاش) در گرانودیوریت (نور پلاریزه، ۴۰° برابر). D) بافت پوئی کلیتی حاصل رشد تاخیری کانی‌ها در مونزو گرانیت (نور پلاریزه، ۴۰° برابر). E) بافت گرانوفیری در مونزو گرانیت (نور پلاریزه، ۴۰° برابر). F) بافت پرتیت و آنتی پرتیت در ارتوکلاز (نور پلاریزه، ۴۰° برابر). عالائم، plg: پلاژیوکلاز، Kf: آلکالی فلدسپار، Or: ارتوز، Bio: بیوتیت، Act: اکتینولیت

## ژئوشیمی

### طبقه‌بندی و تعیین سری ماقمایی

از (1985) Middlemost، نمونه‌های مورد مطالعه در محدوده گرانودیبوریت و تونالیت قرار می‌گیرند (شکل ۵). بر اساس نمودارهای نشان داده شده در شکل ۶، گرانیتوئید زرگلی از نوع کالک آکالن و پتابسیم بالا است و عدد منیزم آن بین  $100\text{Mg}/(\text{Mg}+\text{Fe}) = 44\text{--}55$  متغیر می‌باشد.

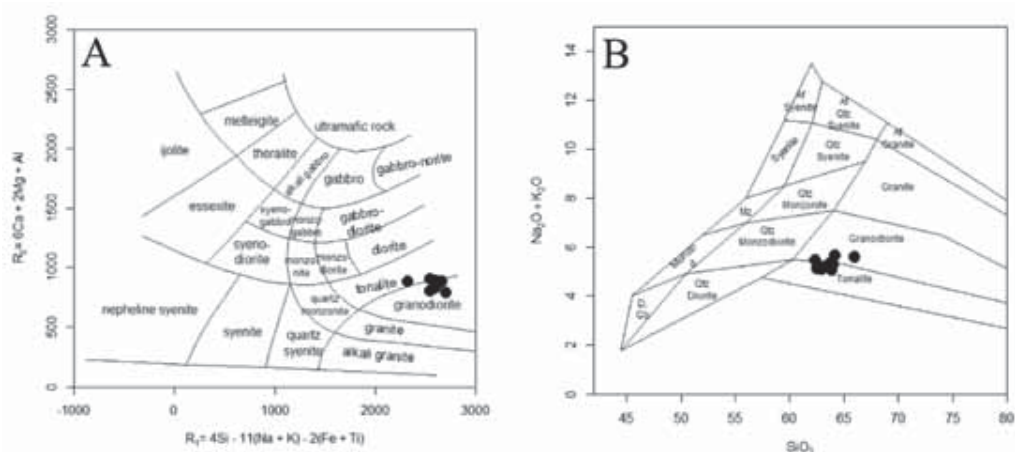
نتایج آنالیزهای شیمیایی نمونه‌های منطقه در جدول ۱ نشان داده شده است. براساس نمودارهای  $\text{R}_1\text{-R}_2$  از De la Roch et al., (1980) و مجموع آکالن-سیلیس

جدول ۱. نتایج آنالیز شیمی سنگ‌های مورد مطالعه بر حسب ppm، اصطلاح GRD: گرانودیبوریت

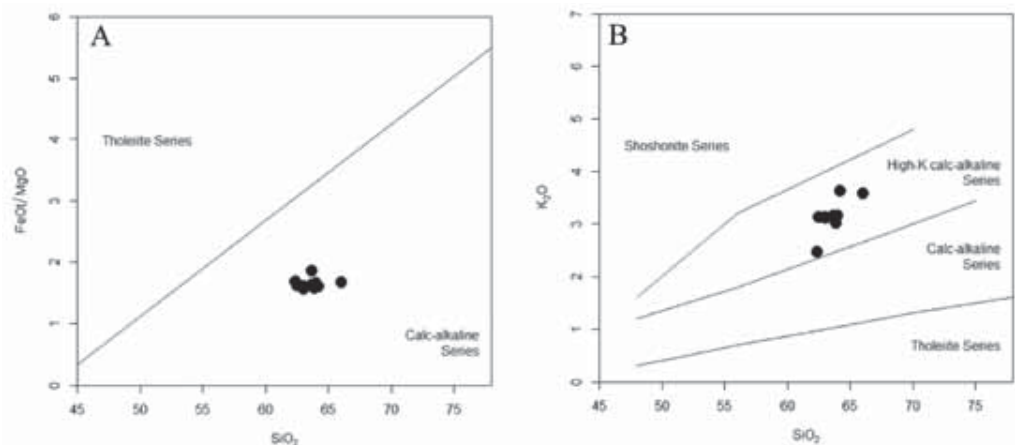
Sample	KZ230	KZ240	KZ300	ZA612	ZA635	ZA618	ZA600	ZA803	ZA820	ZA754
Name	GRD									
$\text{SiO}_2$	62.4	63	63.7	62.5	63	63.7	63.9	64	64.2	66
$\text{TiO}_2$	1.06	0.65	0.6	0.67	0.63	0.64	0.66	0.62	0.58	0.51
$\text{Al}_2\text{O}_3$	15.05	15.05	15.4	14.85	15.1	14.95	15.2	15.05	14.65	14.75
$\text{Fe}_2\text{O}_3$	6.14	5.86	5.5	6.11	5.54	5.04	5.46	5.6	5.25	4.56
$\text{MnO}$	0.08	0.09	0.09	0.1	0.08	0.08	0.08	0.08	0.09	0.07
$\text{MgO}$	2.52	3.53	3.24	3.65	3.42	2.61	3.34	3.25	3.15	2.63
$\text{CaO}$	3.86	3.89	3.47	4.05	3.98	3.76	3.92	3.81	3.32	3.46
$\text{Na}_2\text{O}$	2.99	1.96	2.1	1.98	2.04	2.16	2.03	2.13	2.03	2.03
$\text{K}_2\text{O}$	2.47	3.11	3.1	3.13	3.13	3.16	3.01	3.15	3.63	3.57
$\text{P}_2\text{O}_5$	0.36	0.16	0.17	0.14	0.16	0.15	0.14	0.12	0.1	0.12
LOI	2.17	1.83	1.87	1.88	1.97	2.82	1.36	1.42	2.11	1.47
Total	99.1	99.13	99.24	99.06	99.05	99.07	99.1	99.28	99.11	99.17
V	166	130	122	137	130	100	141	127	120	102
Cr	60	150	140	160	150	100	160	140	130	120
Ni	94	122	100	124	120	71	128	110	101	91
CO	20.4	18.3	15.8	18.8	18.8	13	18	16.8	15.6	12.4
Zn	83	81	75	82	74	65	73	74	66	61
Ga	19	18	19	19	18	18	18	18	17	17
Sn	2	3	3	3	2	2	3	5	4	3
W	2	2	1	2	3	1	2	2	2	2
Ba	228	386	318	422	464	331	334	285	369	354
Sr	187	217	196.5	205	223	186	202	192.5	188.5	189
RB	115.5	135.5	142.5	159	136.5	127	137	150.5	158.5	152
Nb	19	14	14	16	13	13	12	13	12	12
Y	48.7	25	21.2	25.8	23.4	20	32.4	31.8	20.3	29
Zr	174.5	163.5	138.5	169.5	163	138	151	158	174.5	145
Cs	7.1	10.4	11	12.4	9.4	8.4	12.4	17	15.2	12.8
Hf	5	5	4	5	5	4	5	5	5	5
Ta	1.2	1.1	1.1	1.1	0.9	0.9	0.9	1	0.9	1
Th	2	16	8	19	12	7	12	12	12	15
U	1.5	1.5	1.3	1.9	1.2	1	1.9	2.2	1.7	1.7
La	11.3	34.7	19.6	34.2	32.4	14.6	26	25.8	24.7	34.6
Ce	32	72.8	47.4	80.4	61.6	37.8	55.1	58.1	58.7	69.4

ادامه جدول ۱

Sample	KZ230	KZ240	KZ300	ZA612	ZA635	ZA618	ZA600	ZA803	ZA820	ZA754
Pr	3.9	8.4	5.4	9.1	7.2	4.5	6.2	6.6	6.7	8.2
Nd	16.3	31.1	20.9	35.1	26.9	17.2	24.7	25.2	24.7	29.9
Sm	5.1	6.4	4.4	6.7	5.1	3.7	5.3	5.1	4.8	6.3
Eu	1.1	1	1.1	1.1	1.1	1	1.1	1	0.9	1
Gd	6.4	5.9	4.6	6.2	5.1	3.9	5.2	5.1	4.5	6.2
Tb	1.3	0.8	0.7	0.9	0.8	0.6	1	0.9	0.7	0.9
Dy	8.5	4.6	3.9	4.5	4.1	3.6	5.3	5	3.9	4.8
Ho	1.8	0.9	0.8	0.9	0.8	0.7	1.2	1.1	0.7	1
Er	5.2	2.7	2.4	2.9	2.4	2.3	3.5	3.6	2.2	3.2
Tm	0.7	0.4	0.3	0.4	0.3	0.3	0.5	0.5	0.3	0.4
Yb	3.7	2.5	1.9	2.6	2.2	2	3.4	3.4	2.1	2.9
Lu	0.5	0.3	0.3	0.4	0.3	0.3	0.5	0.5	0.3	0.4
Mg#	44.84	53.33	50.64	54.2	54.3	55.01	53.48	54.41	54.79	53.85
A/CNK	0.89	0.97	1.02	0.94	0.95	0.95	0.98	0.95	0.96	0.95
Corundu	1.29	1.54	1.49	1.17	1.58	1.49	1.49	1.76	1.8	2.68



شکل ۵. (A). نمایش نمونه‌های گرانیت‌وید زرگلی در نمودار  $R_1$ - $R_2$  از De la Roch et al., (1980) و (B) نمودار مجموع آکالان - سیلیس (Middlemost, 1985)



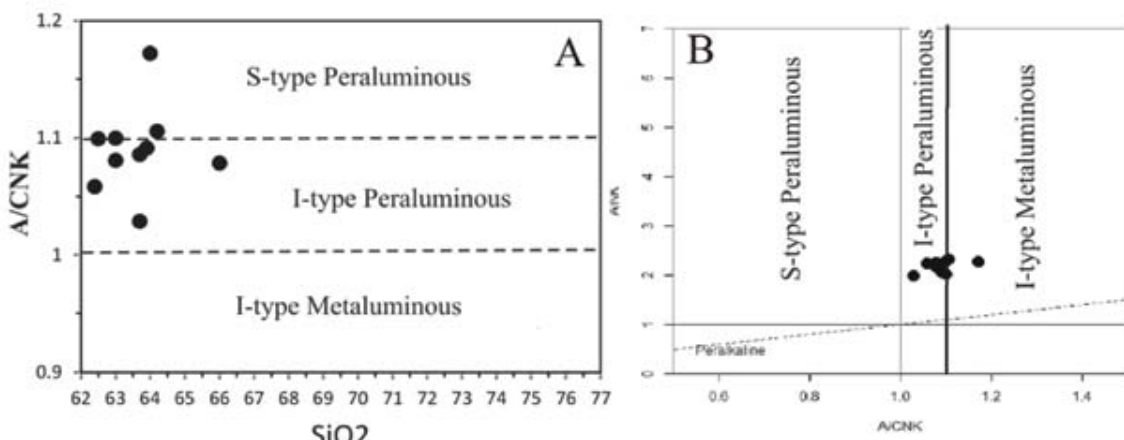
شکل ۶. (A) نمایش ترکیب شیمیایی گرانیت‌وید زرگلی در نمودار  $SiO_2$ - $FeOt/MgO$  جهت تفکیک سری‌های توئیتی - کالک آکالان (Peccerillo and Taylor, 1976) (B) نمایش نمونه‌های گرانیت‌وید زرگلی در نمودار  $SiO_2$ - $K_2O$  از Miyashiro, 1974

نشان می‌دهد. گرانودیوریت زرگلی حاوی انکلاوهای ماسه سنگی و رسی دگرگون شده فراوانی است و می‌توان آن را شاهدی بر آلایش مagma اولیه با سنگ‌های میزبان دانست (Clemens, 2003) که در نهایت باعث تغییر محتوای آلومینیم magma شده است.

توده زرگلی دارای نسبت مولکولی  $K_2O + Na_2O / (CaO + Al_2O_3)$  بین  $1/17 \sim 1/103$  است. این نسبت نشان می‌دهد این گرانیت‌وئید از نوع I ولی پرآلومینوس است (شکل ۷).

مقادیر کرندوم نورماتیو این توده نیز پایین می‌باشد.

توده نفوذی مورد مطالعه دلایل قابل توجهی از ورود مواد پوسته‌ای به درون magma گرانیتی در حال صعود را



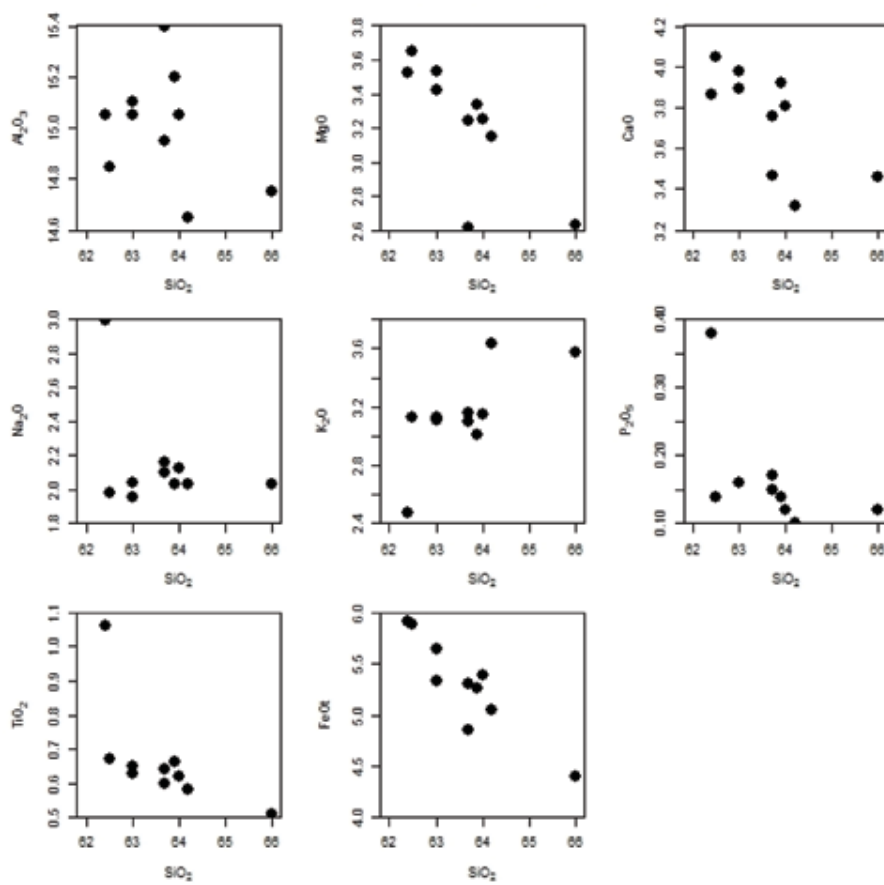
شکل ۷. A) نمودار تفکیک گرانیت‌ها بر اساس  $SiO_2 / A$  در برابر  $A / CNK$ . (Chappell et al., 2012) B) نمودار تفکیک گرانیت‌ها بر اساس شاخص اشباع از آلومینیوم (Maniar and Piccoli, 1989).

### ژئوشیمی عناصر اصلی

آلبیت بیشتر و کاهش مقدار آپاتیت در مراحل نهایی تبلور می‌باشد. از طرفی تغییرات  $P_2O_5$  تابع تغییرات  $CaO$  است. زیرا عنصر فسفر در magma رابطه نزدیکی با عنصر کلسیم دارد. اکسیدهای  $Na_2O$  و  $K_2O$  در برابر  $SiO_2$  روندی افزایشی نشان می‌دهد زیرا این اکسیدهای در مراحل اولیه تبلور به مقدار کم وارد ساختمان کانی‌ها شده و با پیشرفت تفریق، مقدار آنها در مذاب باقیمانده افزایش می‌یابد تا در نهایت وارد ساختمان فلدسپارها شوند (Wilson, 1989).

به عقیده‌ی مک بیرنی (1993)، گرانیت‌وئیدهای حاصل از آلایش یا ذوب رسوبات و سنگ‌های رسوبی دگرگون شده غالباً از عناصر  $Al$ ,  $K$ ,  $Si$ ,  $CaO$  غنی بوده و مقدار  $Na$  در آنها از مقدار  $K$  کمتر است. گرانیت‌وئید زرگلی دارای  $SiO_2$  نسبتاً متوسط و پتاسیم و آلومینیم بالایی است.

تغییرات عناصر اصلی در مقابل  $SiO_2$  در شکل ۸ نشان داده شده است. با افزایش  $SiO_2$  مقدار اکسیدهای  $P_2O_5$ ,  $TiO_2$ ,  $MnO$ ,  $MgO$ ,  $Fe_2O_3$  کاهش می‌یابد. علت این است که اکسیدهای مذکور بیشتر در مراحل اولیه تبلور magma مصرف می‌شوند. کاهش اکسیدهای  $TiO_2$ ,  $MnO$ ,  $MgO$ ,  $Fe_2O_3$  به علت قرارگرفته آنها در ساختار کانی‌های فرومینزیمی مراحل اولیه تبلور تقریقی magma است. مقدار  $Al_2O_3$  ابتدا با افزایش  $SiO_2$  افزایش که دلیل آن افزایش بیوتیت و احتمالاً آمفیبول است ولی در ادامه این روند بر عکس می‌شود. افزایش کوارتز نیز باعث کاهش درصد نسبی فلدسپات‌ها و در نتیجه کاهش مقدار  $P_2O_5$  می‌شود. کاهش اکسیدهای  $Al_2O_3$ ,  $CaO$  و  $SiO_2$  به علت تغییر ترکیب پلازیوکلازها از آنورتیت کمتر به سمت



شکل ۸. نمودار تغییرات شیمیایی عناصر اصلی در مقابل سیلیس (Harker, 1909)

### ژئوشیمی عناصر فرعی و کمیاب خاکی

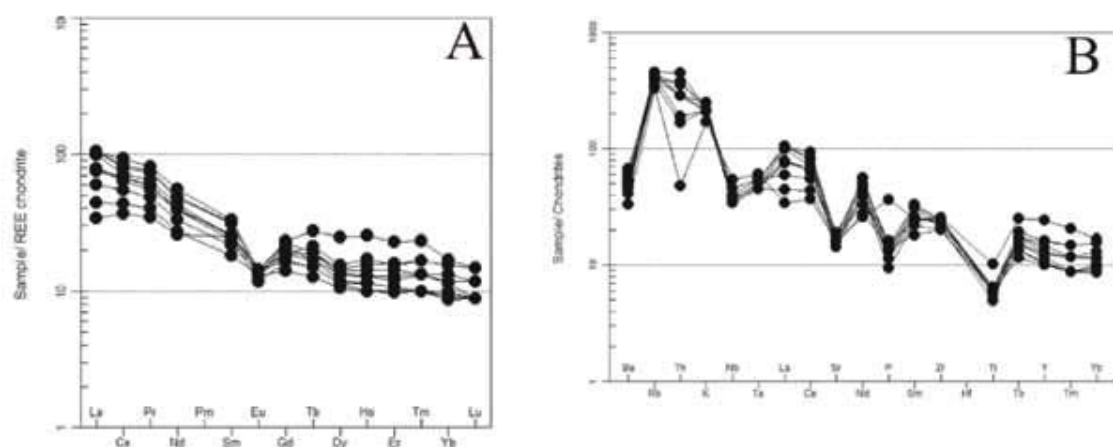
تکامل مagmaها آشکار کند و تهی شدگی در Nb می‌تواند بیانگر نقش نزدیک عناصر LILE و وجود یک مولفه فروزانش در منشا پوسته‌ای و یا هضم پوسته به وسیله magma بازیک قبل از جایگزینی magmaها باشد (Wilson, 1989).

### جایگاه تکتونوماگمایی

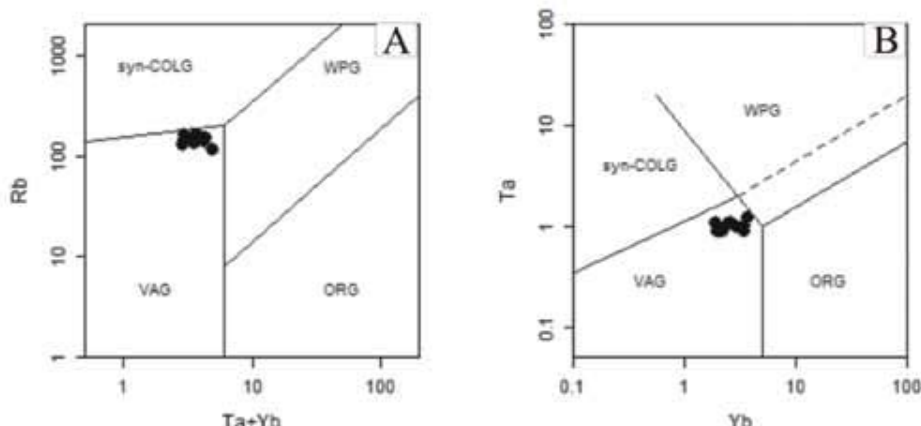
یکی از رایج‌ترین نمودارها برای تعیین محیط تکتونیکی سنگ‌های آذرین، نمودارهای پیرس (Pearce et al., 1984) (Sun and McDonough, 1989) است. سنگ‌های مورد مطالعه در این نمودارها می‌باشد (شکل ۱۰). سنگ‌های کمان آتشفسنای قرار می‌گیرند. نمودار Th/Yb در برابر La/Yb نشان می‌دهد این توده متعلق به magma کمان قاره‌ای است. همچنین نمودار Th/Ta در برابر Yb (Gorton and Schandl, 2000) بیانگر تشکیل این توده در محدوده حاشیه فعال قاره‌ای می‌باشد (شکل ۱۱). لازم به ذکر است محل برداشت نمونه KZ-300 نزدیک زون‌های برشی بوده و به همین علت محل

A-۹ الگوی عناصر خاکی کمیاب یا REE در شکل نشان داده شده است. ناهنجاری منفی واضحی از اروپیوم با نسبت  $\text{Eu}^{*}/\text{Eu} = 3/25-5/26$  دیده می‌شود. نسبت LREE به HREE با  $\text{N}(\text{La/Lu}) = 25/11-42/11$  غنی شدگی نشان می‌دهد. برای بیشتر نمونه‌ها، مقدار LREE از La تا Sm کاهش تقریباً یکنواختی را نشان می‌دهد در حالی که شبیه تغییرات HREE از Gd تا Dy کاهنده و کم است و از آن به بعد تقریباً یکنواخت است. الگوهای پراکنده‌ی نمودارهای LILE عناصر Sun and McDonough, 1989 (Sun and McDonough, 1989) نسبت به عناصر HFSE نظیر Ti و Nb، Rb، K، Th نشان می‌دهند (شکل B-۹). بی‌هنجاری منفی غنی شدگی نشان می‌دهند. بی‌هنجاری منفی Eu و Sr دلایلی مبنی بر تفرقی Plg و یا KF هستند. البته بی‌هنجاری منفی Eu ممکن است در نتیجه آلایش نیز ایجاد شده باشد.

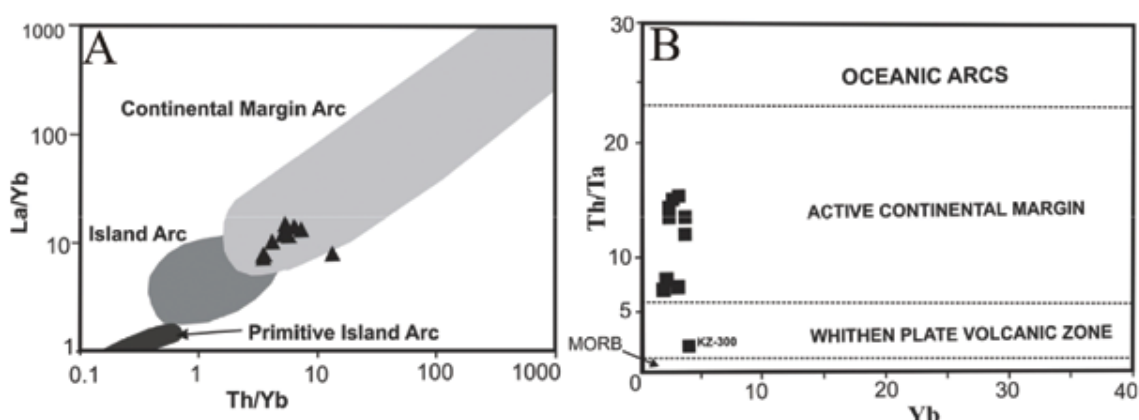
آنمالی منفی Nb ممکن است وجود یک قوس را در



شکل ۹. (A) تغییرات فراوانی عناصر نادر خاکی (REE) نرمالیز شده نسبت به کندریت (Sun and McDonough, 1989)، (B) تغییرات فراوانی عناصر فرعی و نادر خاکی نرمالیز شده نسبت به کندریت (Thompson, 1982)



شکل ۱۰. نمودارهای تفکیک‌کننده‌ی محیط تکتونیکی گرانیتوئیدها (Pearce et al., 1984)



شکل ۱۱. (A) نمودار  $\text{La}/\text{Yb}$  در برابر  $\text{Th}/\text{Yb}$  کمان حاشیه قاره (Gorton and Schandl, 2000). (B) نمودار  $\text{Th}/\text{Ta}$  در برابر  $\text{Yb}$  (Condi, 1989). KZ-300

اصل‌الگرانیت‌وئیدهای نوع I از ذوب سنگ‌های آذرین حاصل می‌شوند (Chappell and White, 1974, 2001). این گرانیت‌وئیدهای غالباً متألومینوس هستند و دارای هورنبلند، اسفن و مگنتیت می‌باشند. آن دسته از گرانیت‌وئیدهای نوع I که پرآلومینوس هستند گرانیت‌وئیدهایی می‌باشند که مقدار  $\text{SiO}_2$  آنها بیشتر از ۷۰ درصد وزنی می‌باشند که ظاهراً از تبلور تفریقی آمفیبول حاصل می‌شوند (Bruce et al., 2012). با وجود اینکه مقدار  $\text{SiO}_2$  گرانیت‌وئید زرگلی از ۷۰ درصد ورنی کمتر و دارای ترکیب شیمیایی در حد گرانودیوریت است اما پرآلومینوس و فاقد هورنبلند، اسفن و مگنتیت و دارای بیوتیت و آلانیت می‌باشد. مطالعات تجربی نشان داده که مذاب‌هایی که از ذوب بخشی سنگ‌های بازالتی و آندزیتی در دمای نسبتاً کمتر در پوسته حاصل می‌شوند نیز عمدتاً از نوع I پرآلومینوس است. از ذوب نامتجانس بیوتیت و آمفیبول در این سنگ‌ها در فشارهای زیر میدان پایداری گارنت، پیروکسن حاصل و مقدار آلومینیم اضافی وارد ماقمای باقیماندهای می‌شود که پرآلومینوس است (Bruce et al., 2012).

### نتیجه‌گیری

گرانیت‌وئید زرگلی از پلتوون‌های با تولیت راه‌های محسوب می‌شود که در فلیش‌های پهنه درزه سیستان در الیگوسن پیشین نفوذ کرده است، حاوی انکلاوهایی از نوع رسوبی دگرگون شده (سورمیکاسه) می‌باشد و توسط دایک‌های حدواسط با ترکیب دیابازی قطع شده است.

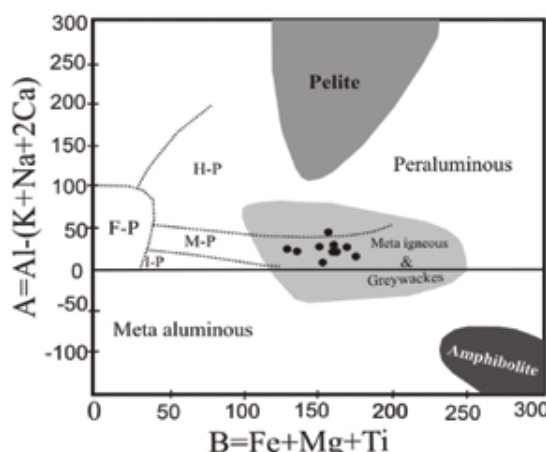
ترکیب شیمیایی گرانیت‌وئید زرگلی در حد گرانودیوریت و تونالیت است که حاوی بیوتیت نسبتاً زیادی است و می‌توان از اصطلاح بیوتیت گرانیت نیز برای آن استفاده کرد.

گرانیت‌وئید زرگلی از نوع I، پرآلومین و کالک‌آلکالن است. در این گرانیت‌وئید LREE و HFSE به ترتیب نسبت به LIL و HREE غنی‌شدگی نشان می‌دهند. افزایش آلومینیم و بی‌هنجری منفی Eu در آن ممکن است به دلیل مشارکت رسوبات قاره‌ای در سنگ منشاء ماقما باشد.

هرچند گرانیت‌وئید زرگلی خصوصیات گرانیت‌وئیدهای قوس آتشفشانی (VAG) و فروزانش حاشیه فعال قاره را

قرارگیری این نمونه‌ها، جدا از سایر نمونه‌ها دیده می‌شود. بر اساس مطالعات آزمایشگاهی و پترولوجی تجربی، از نسبت  $\text{CaO}/\text{Na}_2\text{O}$  برای تشخیص بین مذاب‌های با منشا مواد رسی ( $\text{C/N} < 0.5$ )، مذاب‌های منشا گرفته از گریوک یا سنگ‌های آذرین دگرگون شده کوارتز-فلدسباری ( $0/3-1/5$ ) و مذاب‌های منشا گرفته آمفیبولايتی ( $10 \leq \text{C/N} < 14$ )، استفاده می‌شود (Conrad et al., 1988). سنگ‌های مورد مطالعه نسبت‌های  $\text{CaO}/\text{Na}_2\text{O}$  بین ۱/۲۹-۲/۰۵ داشته و از این نظر با سنگ‌های آذرین دگرگون شده کوارتز-فلدسباری و نیز با گریوک‌ها شباهت دارند. به طور تجربی ثابت شده، در ذوب بخشی آمفیبولايت حجم زیادی از مذاب ( $20-50\%$ ) در محدوده گسترده‌ای از شرایط دما-فشار پوسته‌ای تشکیل می‌شود (کم پتانسیم در نمودار دوتایی A-B است (این مذاب‌ها زیر خط افقی نمودار شکل ۱۲ قرار می‌گیرند). بنابراین نتایج بدست آمده حاکی از این است که آمفیبولايت نمی‌تواند ترکیب مناسبی برای ماقمای منشا گرانودیوریت زرگلی باشد.

علاوه بر این برای تعیین منشا توده زرگلی از نمودار دوتایی مقدار پرآلومینیته:  $A = \text{Al} - (\text{K} + \text{Na} + 2\text{Ca})$  در برابر  $B = \text{Fe} + \text{Mg} + \text{Ti}$  استفاده شد (شکل ۱۲). بر اساس این نمودار ماقمای نمونه‌های مورد مطالعه از ذوب بخشی سنگ‌های آذرین دگرگون شده حاصل شده است.



شکل ۱۲. نمودار A-B برای تشخیص سری‌های گرانیتی (Villaseca et al., 1998)، نمونه‌های مورد مطالعه در محدوده پرآلومین متوسط (mp) قرار گرفته‌اند و منشا آذرین دگرگون شده یا گریوک را برای توده نشان می‌دهند. اصطلاحات نمودار عبارتند از: HP-پرآلومین زیاد، MP-پرآلومین متوسط، LP-پرآلومین کم، FP-پرآلومین فلزیک

- دوره دکترا، دانشکده علوم، دانشگاه تهران، ۱۳۸۵.
- کشتگر، ش.، ۱۳۸۳. پترولوزی، ژئوشیمی و تحلیل ساختاری گرانیت زرگلی (شمال زاهدان). پایان نامه کارشناسی ارشد پترولوزی، دانشکده علوم زمین، دانشگاه تهران، ۱۳۸۴.
- قاسمی، ح.، صادقیان، م.، کرد، م. و خانعلیزاده، ع.، ۱۳۸۸. ساز و کار شکل‌گیری با تولیت گرانیتوئیدی زاهدان، جنوب شرق ایران. فصلنامه بلورشناسی و کانی‌شناسی ایران، ۴، ۵۷۸-۵۵۱.
- مرادی، ر.، بومری، م.، باقری، س.، زاهدی، ا.، ۱۳۹۴. تعیین شرایط فیزیکو‌شیمیایی و عوامل کنترل کننده کانه‌زایی با استفاده از کانه‌نگاری، روابط پاراژنزی و میان بارهای سیال در کانسار استیبنیت- طلا شورچاه، جنوب شرق زاهدان. فصلنامه بلورشناسی و کانی‌شناسی ایران، ۱، ۱۲۱-۱۳۴.
- Castro, A., De la Rosa, J.D. and Stephens, W.E., 1990. Magma mixing in the subvolcanic environment. Contribution to Mineralogy and Petrology, 105, 9-26.
- Camp, V.E. and Griffis, R.J., 1982. character, genesis and tectonic setting of igneous rocks in the Sistan suture zone, eastern Iran. lithous, 15, 221- 239.
- Chappell, B.W. and White, A.J.R., 1974. Two contrasting granite types. Pacific Geology, 8, 173-174.
- Chappell, B.W. and White, A.J.R., 2001. Two contrasting granite types. 25 years later. Australian Journal of Earth Sciences, 48, 489 - 499.
- Chappell, B, Bryant., Colleen, j. and Wyborn., D., 2012. Peraluminous I-type granites, Lithos, 153, 142-153.
- Clemens, J.D., 2003. S-type granitic magmas- petrogenetic issues, models and evidence. Earth Science Review, 61, 1-18.
- Condi, K.C., 1989. Geochemical changes in basalts and andesites across the Archean-Proterozoic boundary: identification and significance. Lithos, 23, 1-18.

دارا می‌باشد ولی سن و محل جایگیری با تولیت زاهدان با زمان برخورد بلوك‌های قاره‌ای لوت و افغان سازگار است. بر اساس ویژگی‌های پتروگرافی و ژئوشیمیایی گرانیتوئید زرگلی، ذوب‌شدنگی سنگ‌های آذرین دگرگون شده و سنگ‌های رسوبی میزبان (فلیش‌های ائوسن) می‌توانسته منشاء ماقمای اولیه سازنده آن باشد.

### قدرتانی

این پژوهش با حمایت مالی دفتر آموزش سازمان صنایع و معادن استان سیستان و بلوچستان (طرح پژوهشی) انجام شده است. نویسندهان بر خود لازم می‌دانند مراتب سپاس خود را از حمایت معاونت محترم وقت امور معادن سازمان، (مرحوم، مهندس فریدون مالکی) اعلام کنند. روحشان شاد و یادشان گرامی باد.

### منابع

- ارجمندزاده، ر.، کریم پور، م.، مظاہری، ا.، سانتوز، ز.، مدینا، ج. و همام، م.، ۱۳۹۰. فروزانش دوسویه نامتقاران؛ نظریه جدید در مورد محیط تکتونوماقمایی و متالوژنی بلوك لوت، شرق ایران. نشریه زمین شناسی اقتصادی، (۳)، ۱، ۱-۱۴.
- افتخارنژاد، ج.، ۱۳۵۲. مطلبی چند درباره حوضه رسوبی فلیش در شرق ایران و توجیه آن با تئوری تکتونیک صفحه‌ای. گزارش سازمان زمین‌شناسی کشور، ضمیمه ۳۲ ف.
- بومری، م.، لشکری، غ. و گرگیج، م.، ۱۳۸۴. F و Cl در بیوتیت‌های موجود در گرانیت‌های اطراف زاهدان. فصلنامه بلورشناسی و کانی‌شناسی ایران، سال ۱۳، ۱، ۲۰۱-۲۱۲.
- تیوای، م.، ۱۳۸۱. پترولوزی و ژئوشیمی دایک‌های تیره فراوان در جنوب زاهدان. پایان نامه کارشناسی ارشد، دانشکده علوم، دانشگاه تهران، ۱۵۰.
- حسینی، م.، ۱۳۸۱. پترولوزی و ژئوشیمی گرانیتوئیدهای جنوب غرب زاهدان. پایان نامه کارشناسی ارشد، دانشگاه علوم، دانشگاه تهران، ۲۹۰.
- سراوانی فیروز، م.، ۱۳۹۰. بررسی شیمی کانی‌های توده نفوذی کوه زرگلی. پایان نامه کارشناسی ارشد، دانشکده زمین‌شناسی، پردیس علوم، دانشگاه تهران، ۱۵۰.
- صادقیان، م.، ۱۳۸۲. ماقماتیسم، متالوژنی و مکانیسم جایگزینی توده گرانیتوئیدی جنوب زاهدان. رساله

- Conrad W.K., Nicholls I. A. and Wall V. J., 1988. Water-saturated and undersaturated melting of metaluminous and peraluminous crustal compositions at 10 kbar: evidence for the origin of silicic magmas in the Taupo volcanic zone, New Zealand and other occurrences. *Journal of Petrology*, 29, 765–803.
- Dela Roch, H., Leterrier, J., Grande p. and Marchal, MA., 1980. Classification of volcanic and plutonic rocks using R1-R2 diagram and major elements analysis—its and current nomenclature. *Chemical Geology*, 29, 183 – 210.
- Gorton, M. P., and Schandl, E. S., 2000. From continental to island arc: A geochemical index of tectonic setting for arc arc-related and within plate felsic to intermediate volcanic rocks. *Canadian Mineralogist*, 38, 1065–1073.
- Harker, A., 1909. The natural History of Igneous Rocks. Methuen, London, 344 .
- Kananian, A. and Keshtgar, Sh., 2004. Petrofabric of deformed Zargoli granites in the NW of Zahedan, Iran, 32 nd. International geological congress, Florence, Italy, part 1, 154–155.
- Middlemost, E.A.K., 1985. Magma and Magmatic Rocks, An Introduction to igneous petrology. Longman Group UK., 266.
- Maniar, P.D., and Piccoli, M., 1989. Tectonic discrimination of granitoids. *Geological Society of American Bulletin*, 101, 635 – 642.
- Miyashiro, A., 1974. Volcanic rock series in island arc and active continental margins, American Journal of Science, 247, 321–355.
- Pearce, J.A., Harris, N.B.W. and Tindle, A.G. 1984. Trace element discrimination diagrams for the tectonic interpretation of granitic rocks. *Journal of Petrology*, 25, 956 – 983.
- Peccerillo, A. and Taylor, S.R., 1976. Geochemistry of Eocene calc-alkaline volcanic rocks from the Kastamonu area, northern Turkey. *Contribution to Mineralogy and Petrology*, 58, 63–81.
- Shand, S.J., 1951. The Study of Rocks. Thomas Murby and Co., London, 236.
- Sun, S.S. and McDonough, W.F., 1989. Chemical and isotopic systematics of oceanic basalts: implication for mantle composition and processes. *Geological Society of London*, 42, 313 – 345.
- Tirrul, R., Bell, I.R., Griffis, R.J. and Camp, V.E., 1983. The Sistan suture zone of Iran. *Geological Society of American Bulletin*, 94, 134 – 150.
- Thompson, R.N., 1982. British tertiary volcanic province. Scott., *Journal of Geology*, 18, 49 – 107.
- Villaseca C., Barbero L. and Herreros V., 1998. A re-examination of the typology of peraluminous granite types in intracontinental orogenic belts. *Transactions of the Royal Society of Edinburgh: Earth Sciences*, 89, 113–19.
- Wilson, M. , 1989. Igneous Petrogenesis. Chapman & Hall, 466 .